# Связь локуса 17q23.1 с клинически выраженным атеросклерозом сонных артерий

Гончарова И.А.<sup>1</sup>, Королева Ю.А.<sup>1</sup>, Слепцов А.А.<sup>1</sup>, Бабушкина Н.П.<sup>1</sup>, Кузнецов М.С.<sup>2</sup>, Козлов Б.Н.<sup>2</sup>, Назаренко М.С.<sup>1</sup>

- Научно-исследовательский институт медицинской генетики,
   Томский национальный исследовательский медицинский центр Российской академии наук 634050, г. Томск, ул. Набережная р. Ушайки, д. 10.
- 2 Научно-исследовательский институт кардиологии, Томский национальный исследовательский медицинский центр Российской академии наук 634012, г. Томск, ул. Киевская, д. 111a.

Проведен анализ ассоциаций rs8078424 (chr17:59873104) с риском развития клинически выраженного атеросклероза сонных артерий и патогенетически значимыми для развития данной патологии количественными признаками, а также оценена связь данного генетического варианта с экспрессией гена МІЯ21 в лейкоцитах периферической крови пациентов. В группу обследования включены пациенты с клинически выраженным атеросклерозом сонных артерий (стеноз при ультразвуковом исследовании более 80%; n=104). В качестве контроля использованы популяционная выборка жителей г. Томска (n=161) и группа, состоящая из относительно здоровых индивидов, которые имели начальные стадии атеросклероза сонных артерий, но без гемодинамически значимых изменений (стеноз не более 24%; n=84). Генотипирование rs8078424 выполняли методом MALDI-TOF масс-спектрометрии на приборе Sequenom MassARRAY $^{\circ}$  (США). Уровень экспрессии гена MIR21 в лейкоцитах крови оценивался методом капельной цифровой ПЦР на приборе QX200 Droplet Digital PCR System (Bio-Rad). Выявлено, что генотип GG rs8078424 является протективным относительно развития клинически выраженного атеросклероза сонных артерий (OR=0,023, 95%Cl:0,08-0,62; p=0,003), ассоциирован с меньшим уровнем общего холестерина в сыворотке крови и повышенной экспрессией гена MIR21 в лейкоцитах крови пациентов. Потенциальными молекулярными механизмами ассоциации rs8078424 с атеросклерозом являются изменение сайта связывания транскрипционных факторов (FOXP1, SOX18, GATA3, HOXD9, HOXD10 и С/ EBPalpha), а также связь с экспрессией гена MIR21 в клетках органов-мишеней патологии. Полиморфизм локуса 17q23.1 (в области генов TUBD1, VMP1/MIR21) представляет интерес для более детального изучения подверженности к сердечно-сосудистым заболеваниям в контексте эпигенетических механизмов в отдельных клетках органов-мишеней патологии.

Ключевые слова: атеросклероз сонных артерий, rs8078424, уровень общего холестерина, miR-21.

**Для цитирования:** Гончарова И.А., Королева Ю.А., Слепцов А.А., Бабушкина Н.П., Кузнецов М.С., Козлов Б.Н., Назаренко М.С. Связь локуса 17q23.1 с клинически выраженным атеросклерозом сонных артерий. *Медицинская генетика* 2021; 20(10): 25-32. **DOI:** 10.25557/2073-7998.2021.10.25-32

**Автор для корреспонденции:** *Гончарова Ирина Александровна*, **e-mail:** irina.goncharova@medgenetics.ru **Финансирование.** Работа выполнена в рамках государственного задания Министерства науки и высшего образования. **Конфликт интересов.** Авторы заявляют об отсутствии конфликта интересов. **Поступила:** 25.09.2021.

## The association of 17q23.1 locus with advanced carotid atherosclerosis

Goncharova I.A.1, Koroleva Iu.A.1, Sleptsov A.A.1, Babushkina N.P.1, Kuznetsov M.S.2, Kozlov B.N.2, Nazarenko M.S.1

- 1 Research Institute of Medical Genetics, Tomsk National Research Medical Center, Russian Academy of Sciences 10 Nab. Ushaiki St., Tomsk, 634050, Russian Federation
- 2 Cardiology Research Institute, Tomsk National Research Medical Center, Russian Academy of Sciences 111a Kievskaya St., Tomsk, 634012, Russian Federation

In this study, we analyzed the association of rs8078424 (chr17:59873104) with the risk of advanced carotid atherosclerosis and disease-related traits. We also assessed the association of this genetic variant with the expression of *MIR21* gene in peripheral blood leukocytes of patients.

**Methods.** A group of cases included patients with advanced carotid atherosclerosis who had artery stenosis with 80% or more by ultrasound examination (n=104). We used two control groups. Resident population of Tomsk was the first group (n=161). A second group consists of relatively healthy individuals who had non-hemodynamically significant carotid atherosclerosis (24% or less; n=84). Genotyping of rs8078424 was performed using MALDI-TOF mass spectrometry on a Sequenom MassARRAY® (USA) platform. The expression level of the *MIR21* gene in peripheral blood leukocytes was assessed by droplet digital PCR on a QX200 Droplet Digital PCR System (Bio-Rad).

**Results.** The GG rs8078424 genotype was found to be protective against of advanced carotid atherosclerosis (OR=0.023, 95%Cl:0.08-0.62; p=0.003) and associated with a lower level of total cholesterol in the serum and increased *MIR21* gene expression in periph-

eral blood leukocytes of the patients. Potential molecular mechanisms of the association of rs8078424 with atherosclerosis include alteration of transcription factors binding sites (FOXP1, SOX18, GATA3, HOXD9, HOXD10, and C/EBPalpha) as well as relationship with the *MIR21* gene expression in cells of target organs.

**Conclusion.** The polymorphism of the 17q23.1 locus (in the region of the *TUBD1*, *VMP1/MIR21* genes) is of interest for a more detailed study of susceptibility to cardiovascular diseases in the context of epigenetic mechanisms in single cells of the target organs.

**Keywords:** carotid atherosclerosis, rs8078424, total cholesterol level, miR-21.

**For citation:** Goncharova I.A., Koroleva Iu.A., Sleptsov A.A., Babushkina N.P., Kuznetsov M.S., Kozlov B.N., Nazarenko M.S. The association of 17q23.1 locus with advanced carotid atherosclerosis. *Medicinskaya genetika* [*Medical genetics*] 2021; 20(10): 25-32. (In Russ.) **DOI:** 10.25557/2073-7998.2021.10.25-32

Corresponding author. Irina A Goncharova; e-mail: irina.goncharova@medgenetics.ru

Funding. The research was carried out under the state task of the Ministry of Science and Higher Education of the Russian Federation.

**Conflict of interest.** The authors declare no conflicts of interest.

Accepted: 25.09.2021.

### Введение

В последнее десятилетие все большее внимание уделяется изучению эпигенетических механизмов, лежащих в основе развития многофакторных заболеваний, в том числе и атеросклероза. В качестве эпигенетических регуляторов развития патологических процессов выступают некодирующие РНК, в том числе микроРНК. Данные молекулы играют важную роль при развитии острых и хронических сердечно-сосудистых заболеваний, участвуя в регуляции иммунных реакций, воспалительного ответа, метаболизма липидов, запуская механизмы, определяющие фенотип гладкомышечных клеток (ГМК) и влияя на стабильность атеросклеротической бляшки [1].

Функционирование генов микроРНК (как и белоккодирующих генов), регулируется метилированием СрG-сайтов в районе локализации регуляторных элементов и, вместе с тем, может быть связано со структурным полиморфизмом ДНК. Поскольку последовательность генов микроРНК является консервативной, то для изучения влияния генетического полиморфизма на активность данных генов, можно выбрать регуляторные однонуклеотидные варианты (rSNPs), расположенные в сайтах связывания транскрипционных факторов, или cis-eQTL SNPs, ассоциированные с изменением экспрессии генов, локализованных в том же локусе.

МикроРНК miR-21 играет важную роль в атерогенезе и влияет на стабильность атеросклеротической бляшки и, следовательно, риск развития клинических осложнений заболевания [2]. В настоящем исследовании проведен анализ ассоциаций rs8078424 (ciseQTL SNP, локализованного на расстоянии 3,1 т.п.н. от 3' конца гена MIR21) с риском развития клинически выраженного атеросклероза сонных артерий и патогенетически значимыми для развития данной патологии количественными признаками, а также оценена связь

данного генетического варианта с экспрессией гена *MIR21* в лейкоцитах периферической крови пациентов.

### Методы

В группу обследованных вошли 104 пациента с клинически выраженным атеросклерозом сонных артерий (ACA), из них 82 мужчины (средний возраст  $63,9\pm7,7$  лет) и 22 женщины (средний возраст  $63,6\pm7,7$  лет). У всех пациентов при ультразвуковом исследовании (УЗИ) обнаружен выраженный стеноз сонной артерии (>80%), что являлось показанием к каротидной эндартерэктомии.

В качестве контроля были выбраны две группы: популяционный контроль (КП; n=161; 88 мужчин, средний возраст  $46.9\pm11.6$  лет, и 73 женщины, средний возраст  $48.4\pm8.8$  лет) и группа, состоящая из относительно здоровых индивидов без клинических признаков атеросклероза (КБА; n=84.55 мужчин, средний возраст  $72.2\pm5.2$  года и 29 женщин, средний возраст  $71.4\pm6.8$  года). Всем индивидам группы КБА было проведено УЗИ сонных артерий, выявившее начальные стадии атеросклероза, но без гемодинамически значимых изменений (стеноз не более 24%). Подробное описание выборок пациентов представлено в **табл. 1**.

Формирование выборок и обследование пациентов с клинически выраженным атеросклерозом сонных артерий проводили на базе НИИ кардиологии Томского НИМЦ. Общими критериями для включения индивидов в исследование были отсутствие родственных связей между индивидами, этническая принадлежность к восточным европеоидам (славянам), отсутствие онкологических и других тяжелых соматических заболеваний. Проведение исследования одобрено Комитетом по биомедицинской этике НИИ кардиологии Томско-

го НИМЦ (Протокол №203 от 14 октября 2020г.). Все участники подписали информированное согласие о цели и возможных рисках исследования. Контрольные выборки были получены из биобанка НИИ медицинской генетики Томского НИМЦ «Биобанк населения Северной Евразии». Исследование проведено на базе ЦКП НИИ медицинской генетики Томского НИМЦ.

У всех индивидов получены образцы венозной периферической крови. Материалом для работы служила ДНК, выделенная из лейкоцитов цельной периферической крови стандартным фенол-хлороформным методом [3]. Генотипирование 18078424 выполняли методом MALDI-TOF масс-спектрометрии на приборе Sequenom MassARRAY® (США). Последовательность праймеров для генотипирования: прямой -5'-GCCTCCATAGTTATAAATGTC-3'; обратный -5'-AGCTACTGCGCCCAGGCCA-3'. Различие частот аллелей и генотипов между группами оценивали при помощи критерия  $\chi^2$ . Связь генотипа с количе-

ственными признаками оценивали с помощью критерия Краскела-Уоллеса.

Для изучения экспрессии гена MIR21 венозную кровь пациентов (n=21) забирали в вакуумные пробирки PAXgeneTM (Qiagen) и хранили в замороженом состоянии (-80°C) вплоть до эксперимента. Выделение РНК из лейкоцитов проводили с использованием набора PAXgeneTM Blood RNA Kit (Qiagen). Измерение концентрации и оценку качества РНК выполняли на спектрофотометре NanoDrop 8000, а также в 1% агарозном геле по соотношению интенсивности полос, соответствующих 18S и 28S рРНК. Получение кДНК осуществляли с помощью набора Omniscript RT Kit (Qiagen). Уровень экспрессии гена MIR21 (количество предшественника микроРНК (pre-miR-21)) в лейкоцитах крови оценивался с использованием капельной цифровой ПЦР на приборе QX200 Droplet Digital PCR System (Bio-Rad) по протоколу фирмы-производителя с праймерами и TagMan-зондами (Hs04231424 s1) производства ThermoFisher Scientific.

Таблица 1

### Характеристика исследованных групп

	Пациенты с клинически	Популяционный	Контрольная группа							
Параметр	выраженным атеросклерозом	контроль	относительно здоровых							
	сонных артерий (ACA, n=104)	$(K\Pi, n=161)$	индивидов (КБА, n=84)							
Пол (мужчины:женщины)	82:22	88:73	55:29							
Возраст, лет (x±s.d.)	64,4±7,3	47,4±10,3	69,3±7,0							
Клинические параметры										
ИМТ, кг/м²(x ±s.d.)	29,0±4,5	26,1±4,3	27,4±4,5							
ИБС в анамнезе (%)	100,0	нд	13,0							
ИМ в анамнезе (%)	31,7	нд	4,8							
ОНМК в анамнезе (%)	33,6	нд	0							
СД2 в анамнезе (%)	22,1	нд	7,1							
АГ в анамнезе (%)	99,0	32,3	61,9							
Ультразвуковое исследование сонных артерий										
Степень стеноза (%)	епень стеноза (%) >80 нд <24									
Лабораторные данные (x ±s.d.)										
Общий холестерин (ммоль/л)	5,1±1,1	5,9±1,1	5,4±1,0							
Триглицериды (ммоль/л)	1,8±0,9	1,5±0,8	1,3±0,7							
ЛПВП (ммоль/л)	1,2±0,3	1,3±0,4	1,4±0,3							
ЛПНП (ммоль/л)	2,8±1,5	3,9±0,9	3,4±0,8							
Индекс атерогенности	3,1±1,4	3,1±1,2	3,1±1,0							
Глюкоза (ммоль/л)	6,2±1,9	5,2±1,1	5,8±1,1							
Прием лекарственных препаратов (%)										
Антикоагулянты/дезагреганты	89,2	0,0	0,0							
Антигипертензивные препараты	81,7	49,0	30,9							
Статины	62,2	0,0	5,9							
Противодиабетические препараты	29,5	0,0	1,2							

Примечание: АГ – артериальная гипертензия, ИМТ – индекс массы тела, ИБС – ишемическая болезнь сердца, ИМ – инфаркт миокарда, ЛПВП – липопротеины высокой плотности, ЛПНП – липопротеины низкой плотности, ОНМК – острое нарушение мозгового кровообращения, СД2 – сахарный диабет 2 типа, нд – нет данных.

Анализ экспрессии *MIR21* проводили путем оценки числа копий гена в микролитре. Во избежание влияния различного уровня белковых и химических примесей на конечный результат при оценке экспрессии генов с помощью технологии ddPCR по ранее предложенной рекомендации [4] была проведена нормализация экспрессии гена *MIR21* по отношению к экспрессии гена *GAPDH* (Hs99999905\_m1).

Регуляторный потенциал и сцепление rs8078424 с другими SNPs локуса 17q23.1 анализировали с помощью онлайн сервиса HaploReg v4.1 (https://pubs.broadinstitute.org/mammals/haploreg/ haploreg.php), RegulomeDB (https://regulomedb. org/regulome-search?regions=chr17%3A57950464-57950465&genome=GRCh37) и браузера Ensembl (http://www.ensembl.org/Homo sapiens/Variation/ HighLD?db=core;r=17:59872604-59873604;v=rs807842 4;vdb=variation;vf=105659696#373514 tablePanel). Связь данного полиморфизма с экспрессией генов (eOTL) оценивали с помощью данных проекта Genotype-Tissue Expression (GTEx) (http://www.gtexportal.org/). Поиск сайтов связывания транскрипционных факторов проводили с использованием онлайн инструмента PROMO 3.0.2. Последовательности анализировали с максимальной степенью (5%) несходства матриц [5].

### Результаты исследования и их обсуждение

При сравнении частот аллелей и генотипов гs8078424 между пациентами и двумя контрольными группами выявлено, что данный полиморфизм ассоциирован с клинически выраженным атеросклерозом сонных артерий. Частота генотипа GG в группе больных ACA (5,8%) не отличается от КП (6,2%), но статистически значимо ниже, чем в группе КБА (21,4%; таблица 2). Генотип GG является протек-

тивным по отношению к развитию клинически выраженного заболевания (OR=0,023,95% CI:0,08-0,62; p=0,003). Статистически значимое различие в частоте генотипа GG между КП (6,2%) и КБА (21,4%) может объясняться тем, что в группе популяционного контроля, несмотря на относительно меньший возраст индивидов по сравнению с другими выборками, присутствует существенная доля лиц с атеросклерозом (табл. 2).

Оценка связи генотипов гs8078424 с изменчивостью количественных признаков в обследованных группах показала, что данный вариант ассоциирован с уровнем общего холестерина в сыворотке крови у пациентов с клинически выраженным ACA. Информация об уровне общего холестерина была доступна для 53 больных, из них 48,9% принимали статины. Выявлено, что генотип GG, являющийся протективным по отношению к развитию ACA, ассоциирован с меньшим уровнем общего холестерина в сыворотке крови  $(3,36\pm0,22\ \text{ммоль/л})$  по сравнению с другими генотипами  $(\text{AA}-5,29\pm1,06\ \text{ммоль/л};\ \text{AG}-4,99\pm1,21\ \text{ммоль/л};\ p=0,031;\ \text{рис. 1})$ . Связи гs8078424 с другими патогенетически значимыми для заболевания количественными признаками не выявлено.

Одним из механизмов, объясняющих ассоциации генетических вариантов с различными клиническими фенотипами, может быть их влияние на функциональную активность генов в клетках органов-мишеней заболеваний. Однонуклеотидные варианты, расположенные в регуляторных элементах, изменяющие сайты связывания транскрипционных факторов — rSNPs или влияющие на экспрессию генов — eQTL-локусы, могут характеризоваться как «причинные» и вносить вклад в патогенез заболеваний.

Согласно онлайн ресурсам RegulomeDB и HaploReg v4.1, полиморфизм rs8078424 расположен в области

Таблица 2
Ассоциация rs8078424 гена TUBD1 с клинически выраженным атеросклерозом сонных артерий

Ген ID SNP	Генотип/ Аллель	Численность (частота) генотипов, аллелей			Уровень значимости (р)		
		ACA	КП	КБА	АСА/ КП	АСА/ КБА	КП/ КБА
TUBD1 (rs8078424)	AA+AG	98 (94,2)	151 (93,8)	66 (78,6)	0,907	0,003	0,001
	GG	6 (5,8)	10 (6,2)	18 (21,4)			
	A	166 (79,8)	239 (74,2)	111 (66,1)	0,169	0,004	0,073
	G	42 (20,2)	83 (25,8)	57 (33,9)			

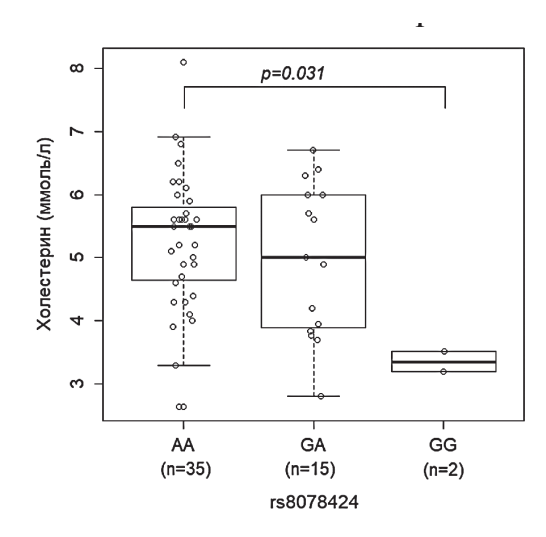
**Примечание.** ACA — пациенты с клинически выраженным атеросклерозом сонных артерий,  $K\Pi$  — популяционный контроль, KБA — индивиды без клинических признаков атеросклероза; p — уровень значимости, полученный для критерия  $\chi^2$ .

открытого хроматина (участка, гиперчувствительного к ДНКазе I) и является сайтом связывания транскрипционных факторов (FOXP1, SOX18 и GATA3) в коронарных артериях и Т-клетках крови. Данные транскрипционные факторы могут играть существенную роль при развитии атеросклеротического поражения артерий. Показано, что при атеросклерозе в эндотелиальных клетках коронарных артерий наблюдается подавление экспрессии гена FOXP1 и увеличение гена SOX18 [6, 7]. На экспериментальных моделях (мыши с нокаутом гена *Gata3* в миелоидных клетках) была показана роль этого транскрипционного фактора в патогенезе сердечно-сосудистых заболеваний. Отсутствие Gata3 значительно снижало степень ремоделирования миокарда и приводило к улучшению сердечной функции при ишемии или перегрузке давлением [8].

Анализ связывания транскрипционных факторов *in silico* в области rs8078424 показал, что замена нуклеотидов A>G приводит к потере сайтов связывания для транскрипционных факторов HOXD9, HOXD10 и C/EBPalpha (**puc. 2**), которые, в свою очередь, играют роль в развитии сердечно-сосудистых заболеваний.

Исследования последних лет продемонстрировали, что белковые продукты генов семейства НОХ непосредственно участвуют в морфогенезе сердечнососудистой системы. Мутации генов *НОХ* приводят к развитию врожденных пороков сердца и артерий [9]. Исследования, касающиеся роли НОХ-семейства в постэмбриональном периоде развития, немногочисленны. Показана активация путей ТСБ, WNT, Notch,

НІГ1α, TWIST1 и HOX в областях сосудов с низким напряжением сдвига, ассоциированным с развитием атеросклеротических поражений [10]. Транскрипционный фактор C/EBPalpha относится к семейству белков ССААТ/связывающих энхансеры (С/ЕВР), которые регулируют клеточную пролиферацию и дифференцировку, участвуют в адипогенезе и метаболизме глюкозы и липидов в печени, а также влияют на экспрессию многих генов, белковые продукты которых регулируют воспалительные и иммунные процессы. Активация С/ЕВР в ГМК аорты может вызывать избыточное



**Рис. 1.** Уровень общего холестерина в сыворотке крови пациентов с клинически выраженным АСА в зависимости от генотипа rs8078424.

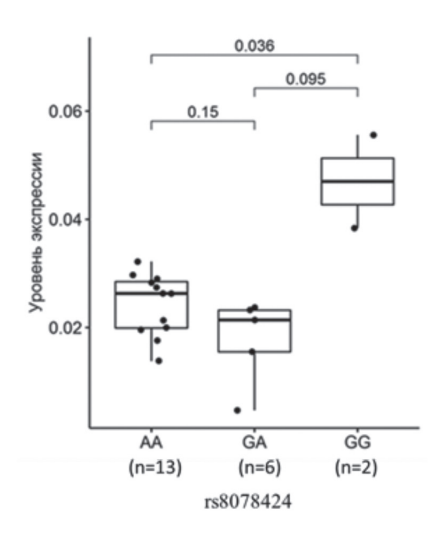
# aatgcaagagatAACAATATAAGTAagacatttata AACAATA PR B, PR A, C/EBPalpha ROS PR B, PR B, PR A ROS PR B, PR B, PR B, PR A ROS PR B, PR

Рис. 2. Сайты связывания транскрипционных факторов в области rs8078424.

образование активных форм кислорода, продуцируемых членами семейства НАДФН-оксидазы, что способствует дисфункции ГМК и развитию атеросклеротических бляшек [11].

Вариант rs8078424 расположен в интроне 6 гена дельта-тубулина (*TUBD1*), кодирующего один из центросомных белков, основной молекулярной функцией которого является формирование микротрубочек веретена деления и контроль пролиферации клеток (https://www.uniprot.org/uniprot/Q9UJT1). Данный полиморфизм находится в блоке сцепления с другими SNPs в генах TUBD1 и RPS6KB1 (http://www.ensembl.org/Homo sapiens/Variation/ HighLD?db=core;r=17:59872604-59873604;v=rs8078424; vdb=variation;vf=105659696#373514 tablePanel; https:// pubs.broadinstitute.org/mammals/haploreg/haploreg. php). Кроме того, по данным проекта Genotype-Tissue Expression rs8078424 является eQTL-локусом и влияет на изменение экспрессии нескольких генов в различных тканях (https://www.gtexportal.org/home/snp/ rs8078424). Так, например, в тибиальной артерии генотип GG rs8078424 связан со снижением экспрессии гена *TUBD1*, но увеличением экспрессии гена *PTRH2*, псевдогена DHX40P1, а также генов длинных некодирующих РНК (*RP11-758H9.2* и *RP11-178C3.2*).

Ассоциаций с сердечно-сосудистыми заболеваниями и атеросклерозом для этих генов показано не было, однако показана связь коэкспрессии определенных продуктов альтернативного сплайсинга гена *TUBD1* 



**Рис. 3.** Средний уровень экспрессии гена *MIR21* в лейкоцитах крови пациентов с клинически выраженным ACA в зависимости от генотипа rs8078424. Уровень экспрессии представлен в виде нормализованного отношения *MIR21* (число копий/мкл)/*GAPDH* (число копий/мкл).

в периферической крови с риском развития диабетической ретинопатии у больных сахарным диабетом второго типа, являющегося фактором риска атеросклероза [12].

В ряде работ полиморфизм локуса 17q23.1 (в области генов *TUBD1*, *VMP1/MIR21*), в том числе rs8078424, ассоциирован с воспалительными заболеваниями толстого кишечника через изменение уровня метилирования в области генов VMP1/MIR21 в клетках крови и в стенке кишечника [13–16]. В частности, генотип GG rs8078424 связан с более низким уровнем метилирования нескольких СрG-сайтов в области генов *VMP1/MIR21* в клетках крови по сравнению с другими генотипами [13], а rs11650106 гена VMP1 ассоциирован с изменением активности циркулирующей липопротеин-ассоциированной фосфолипазы A2 (Lp-PLA2) в сыворотке крови, повышенный уровень которой является независимым фактором риска развития атеросклероза, инфаркта миокарда и инсульта [17]. Следует отметить, что при воспалительных заболеваниях толстого кишечника наблюдается чрезмерная активация иммуно-воспалительных реакций, приводящих к развитию патофизиологических процессов в стенке данного органа, которые имеют общие черты с изменениями в стенке артерий, происходящими во время прогрессирования атеросклероза, разрыва атеросклеротической бляшки и тромбоза [18].

В связи с этим, на следующем этапе исследования был проведен анализ связи rs8078424 с экспрессией гена MIR21 (pre-miR-21) в лейкоцитах крови у пациентов с клинически выраженным ACA (n=21). В результате выявлено, что генотип GG ассоциирован с более высоким уровнем экспрессии rename MIR21 по сравнению с rename renam

Зрелая miR-21 продуцируется из предшественника, кодируемого геном MIR21, нуклеотидная последовательность которого перекрывается с 3'-концом гена VMP1.

Ранее было показано, что экспрессия miR-21 влияет на развитие атеросклероза путем регулирования воспаления, продукции оксида азота, пролиферации и апоптоза. К настоящему времени накоплены данные, о том, что повышение экспрессии miR-21 оказывает разнонаправленный эффект на формирование патологического фенотипа как в клетках различных типов, так и на различных стадиях прогрессирования атеросклероза. Например, в ГМК гиперэкспрессия miR-21 ослабляет апоптоз и усиливает пролиферацию, оказывая атерогенный эффект [19]. В клетках эндотелия на ранних этапах развития атеросклероза miR-21 оказывает провоспалительный эффект (путём активации экспрессии провоспалительного белка VCAM-1), но на поздних стадиях патологического процесса эта ми-

кроРНК усиливает фосфорилирование эндотелиальной NO-синтазы, что подавляет экспрессию провоспалительных цитокинов, активацию и адгезию моноцитов и оказывает атеропротективный эффект [1, 20]. В макрофагах на ранних этапах атеросклероза усиленная экспрессия miR-21 способствует подавлению воспаления и иммунного ответа [21], однако в макрофагах сформировавшихся атеросклеротических бляшек miR-21 стимулирует экспрессию металлопротеиназы ММР-9, что приводит к истончению фиброзной покрышки [22]. В клинических исследованиях показано, что в тканях артерий, поражённых атеросклерозом, происходит усиление экспрессии miR-21 по сравнению с непоражёнными артериями [23]. В лейкоцитах периферической крови показано ослабление экспрессии miR-21 у пациентов с незначительным стенозом коронарных артерий (обусловленным атеросклерозом) по сравнению с контрольной группой [24], при значительном же стенозе коронарных артерий, а также стенокардии и инфаркте миокарда наблюдается усиление экспрессии miR-21 [24, 25]. Возможно, что эта ситуация обусловлена противовоспалительным и антиатерогенным эффектом данной микроРНК, и повышение экспрессии гена MIR21 в лейкоцитах периферической крови является компенсаторной реакцией в ответ на прогрессию атеросклероза.

Кроме этого, показана связь увеличения уровня циркулирующей в плазме miR-21 с менее атерогенным липидным профилем, в том числе со снижением уровня общего холестерина в сыворотке, у пациентов с острым коронарным синдромом без подъема сегмента ST [26]. С другой стороны, применение статинов вызывает увеличение экспрессии 41 микроРНК, включая miR-21, в цельной крови и плазме у пациентов с нестабильной стенокардией [27]. Не исключено, что влияние miR-21 на регуляцию метаболизма липидов и функционирование сигнальных путей, вовлеченных в патогенез атеросклероза в ответ на воздействие статинами, является одним из возможных объяснений полученных в настоящем исследовании ассоциаций.

Настоящее исследование имеет ограничения в виде малочисленности обследованных групп, сфокусированности на одной этнической группе (восточные европеоиды — славяне) и определенном фенотипе атеросклероза (сонные артерии). Однако преимуществом работы является попытка объяснения полученной ассоциации гs8078424 с клинически выраженным АСА с помощью функциональной аннотации полиморфизма локуса 17q23.1 как *in silico*, так и путём экспериментального анализа экспрессии гена микроРНК в лейкоцитах крови пациентов.

### Заключение

В результате исследования выявлена протективная ассоциация генотипа GG rs8078424 относительно риска развития клинически выраженного АСА (OR=0.023, 95%CI:0.08-0.62; p=0.003), a также егосвязь с меньшим уровнем общего холестерина в сыворотке крови и повышенной экспрессией гена MIR21 в лейкоцитах крови пациентов. Потенциальными молекулярными механизмами ассоциации rs8078424 с атеросклерозом является изменение сайта связывания транскрипционных факторов (FOXP1, SOX18, GATA3, HOXD9, HOXD10 и C/EBPalpha), а также связь с экспрессией гена MIR21. Полиморфизм локуса 17q23.1 (в области генов *TUBD1*, *VMP1/MIR21*) представляет интерес для более детального изучения подверженности к сердечно-сосудистым заболеваниям в контексте эпигенетических механизмов в отдельных клетках органов-мишеней патологии.

### Литература/References

- Andreou I., Sun X., Stone P.H., et al. miRNAs in atherosclerotic plaque initiation, progression, and rupture. Trends Mol Med. 2015; 21(5):307-318. doi: 10.1016/j.molmed.2015.02.003.
- Fasolo F., Di Gregoli K., Maegdefessel L., Johnson J.L. Non-coding RNAs in cardiovascular cell biology and atherosclerosis. Cardiovasc Res. 2019; 115(12):1732-1756. doi: 10.1093/cvr/cvz203
- Herrmann B.G., Frischauf A.M. Isolation of genomic DNA. Methods Enzymol. 1987; 152:180-183. doi: 10.1016/0076-6879(87)52018-3.
- 4. Taylor S.C., Laperriere G., Germain H. Droplet Digital PCR versus qPCR for gene expression analysis with low abundant targets: from variable nonsense to publication quality data. Sci Rep. 2017; 7(1):2409. doi: 10.1038/s41598-017-02217-x.
- Messeguer X., Escudero R., Farré D., et al. PROMO: detection of known transcription regulatory elements using species-tailored searches. Bioinformatics. 2002;18(2):333-334. doi: 10.1093/ bioinformatics/18.2.333.
- García-Ramírez M., Martínez-González J., Juan-Babot J.O., et al. Transcription factor SOX18 is expressed in human coronary atherosclerotic lesions and regulates DNA synthesis and vascular cell growth. Arterioscler Thromb Vasc Biol. 2005; 25(11):2398-2403. doi: 10.1161/01.ATV.0000187464.81959.23.
- Zhuang T., Liu J., Chen X., et al. Endothelial Foxp1 Suppresses Atherosclerosis via Modulation of Nlrp3 Inflammasome Activation. Circ Res. 2019; 125(6):590-605. doi: 10.1161/CIRCRESAHA.118.314402.
- Yang M., Song L., Wang L., et al. Deficiency of GATA3-Positive Macrophages Improves Cardiac Function Following Myocardial Infarction or Pressure Overload Hypertrophy. J Am Coll Cardiol. 2018; 72(8):885-904. doi: 10.1016/j.jacc.2018.05.061.
- Lescroart F., Zaffran S. Hox and Tale transcription factors in heart development and disease. Int J Dev Biol. 2018; 62(11-12):837-846. doi: 10.1387/ijdb.180192sz.
- Souilhol C., Serbanovic-Canic J., Fragiadaki M., et al. Endothelial responses to shear stress in atherosclerosis: a novel role for developmental genes. Nat Rev Cardiol. 2020;17(1):52-63. doi: 10.1038/s41569-019-0239-5.

### ОРИГИНАЛЬНЫЕ ИССЛЕДОВАНИЯ

- Manea S-A., Todirita A., Raicu M., Manea A. C/EBP transcription factors regulate NADPH oxidase in human aortic smooth muscle cells. J Cell Mol Med. 2014;18(7):1467-1477. doi: 10.1111/jcmm 12289
- 12. Villegas-Ruiz V., Hendlmeier F., Buentello-Volante B., et al. Genome-wide mRNA analysis reveals a TUBD1 isoform profile as a potential biomarker for diabetic retinopathy development. Exp Eye Res. 2017;155:99-106. doi: 10.1016/j.exer.2017.01.004.
- Ventham N.T., Kennedy N.A., Adams A.T., et al. Integrative epigenome-wide analysis demonstrates that DNA methylation may mediate genetic risk in inflammatory bowel disease. Nat Commun. 2016;7:13507. doi: 10.1038/ncomms13507.
- O'Leary K., Adams A., Nimmo E., et al. Genetics, methylation, and disease state interact at the VMP1/MIR21 locus. Journal of Crohn's and Colitis. 2018; 12(1): S544. https://doi.org/10.1093/ecco-jcc/ jjx180.973
- Prakash T., Veerappa A., Ramachandra N.B. Complex interaction between HNRNPD mutations and risk polymorphisms is associated with discordant Crohn's disease in monozygotic twins. Autoimmunity. 2017;50(5):275-276. doi: 10.1080/08916934.2017.1300883.
- Cruz-Romero C., Guo A., Bradley W.F., Novel Associations Between Genome-Wide Single Nucleotide Polymorphisms and MR Enterography Features in Crohn's Disease Patients. J Magn Reson Imaging. 2021;53(1):132-138. doi: 10.1002/jmri.27250.
- Chu A.Y., Guilianini F., Grallert H., et al. Genome-wide association study evaluating lipoprotein-associated phospholipase A2 mass and activity at baseline and after rosuvastatin therapy. Randomized Controlled Trial Circ Cardiovasc Genet. 2012; 5(6):676-685. doi: 10.1161/CIRCGENETICS.112.963314.
- Kristensen S.L., Ahlehoff O., Lindhardsen J., et al. Disease activity in inflammatory bowel disease is associated with increased risk of myocardial infarction, stroke and cardiovascular death--a Danish nationwide cohort study. PLoS One. 2013;8(2):e56944. doi: 10.1371/ journal.pone.0056944.
- Sun P., Tang L.N., Li G.Z., Effects of MiR-21 on the proliferation and migration of vascular smooth muscle cells in rats with athero-

- sclerosis via the Akt/ERK signaling pathway. Eur Rev Med Pharma-col Sci. 2019;23(5):2216-2222. doi: 10.26355/eurrev 201903 17269.
- Weber M., Baker M.B., Moore J.P., Searles C.D. MiR-21 is induced in endothelial cells by shear stress and modulates apoptosis and eNOS activity. Biochem Biophys Res Commun. 2010;393(4):643-8. doi: 10.1016/j.bbrc.2010.02.045.
- Das A., Ganesh K., Khanna S., et al. Engulfment of apoptotic cells by macrophages: a role of microRNA-21 in the resolution of wound inflammation. J Immunol. 2014;192(3):1120-9. doi: 10.4049/jimmunol. 1300613
- Fan X., Wang E., Wang X., et al. MicroRNA-21 is a unique signature associated with coronary plaque instability in humans by regulating matrix metalloproteinase-9 via reversion-inducing cysteine-rich protein with Kazal motifs. Exp Mol Pathol. 2014; 96(2):242-9. doi: 10.1016/j.yexmp.2014.02.009.
- Markus B., Grote K., Worsch M., et al. Differential Expression of MicroRNAs in Endarterectomy Specimens Taken from Patients with Asymptomatic and Symptomatic Carotid Plaques. PLoS One. 2016; 11(9):e0161632. doi: 10.1371/journal.pone.0161632.
- Nariman-Saleh-Fam Z., Vahed S.Z., Aghaee-Bakhtiari S.H., et al. Expression pattern of miR-21, miR-25 and PTEN in peripheral blood mononuclear cells of patients with significant or insignificant coronary stenosis. Gene. 2019; 698:170-178. doi: 10.1016/j.gene.2019.02.074.
- 25. Li S., Fan Q., He S., et al. MicroRNA-21 negatively regulates Treg cells through a TGF- $\beta$ 1/Smad-independent pathway in patients with coronary heart disease. Cell Physiol Biochem. 2015; 37(3):866-78. doi: 10.1159/000430214.
- Miśkowiec D., Lipiec P., Wierzbowska-Drabik K., et al. Association between microRNA-21 concentration and lipid profile in patients with acute coronary syndrome without persistent ST-segment elevation. Pol Arch Med Wewn. 2016;126(1-2):48-57. doi: 10.20452/ pamw.3267.
- Li J., Chen H., Ren J., et al. Effects of statin on circulating microR-NAome and predicted function regulatory network in patients with unstable angina. BMC Med Genomics. 2015; 8:12. doi: 10.1186/ s12920-015-0082-4.